

1/6

W. Luk et. al.  
TAD YOR920030120US1

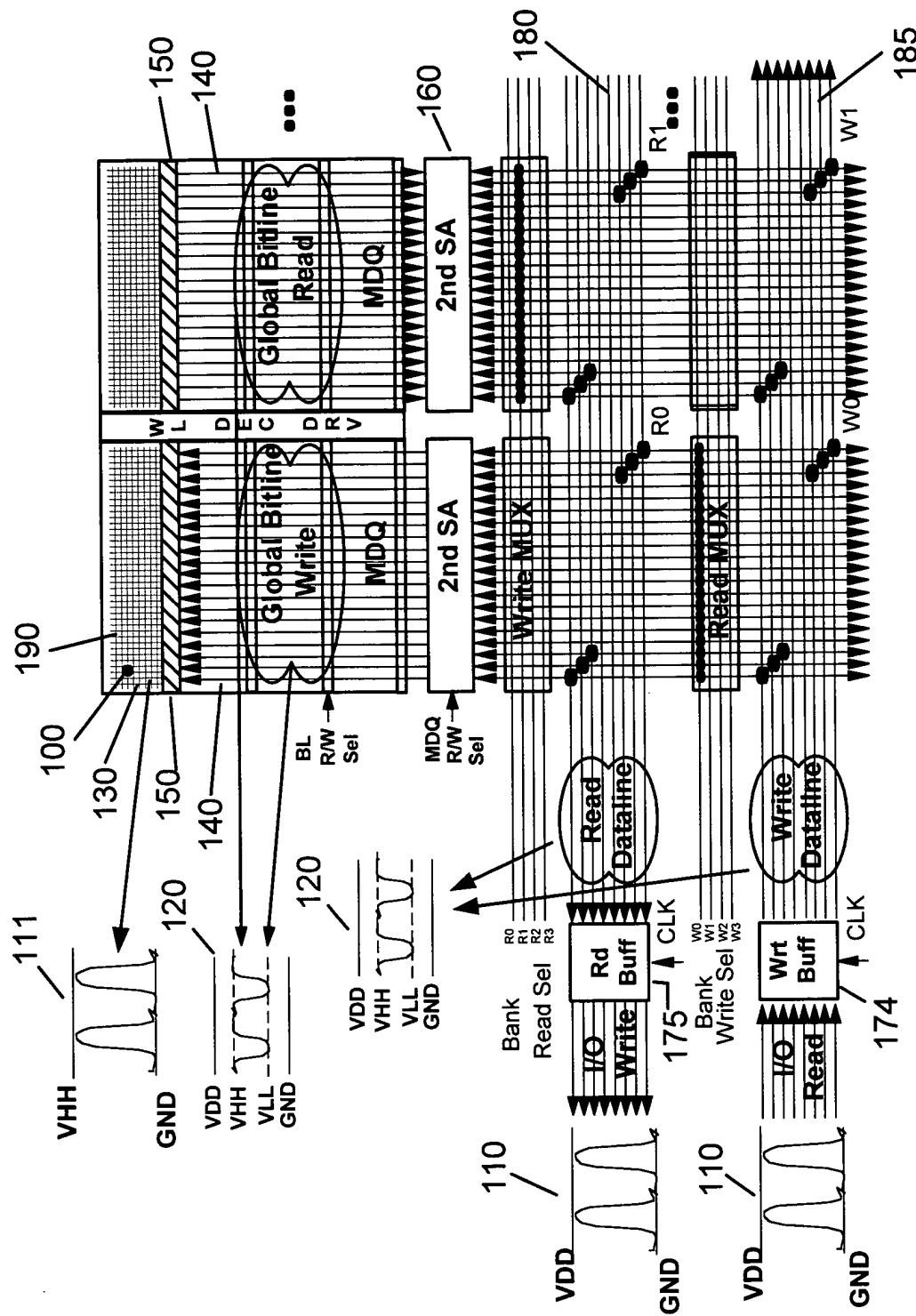


Fig. 1

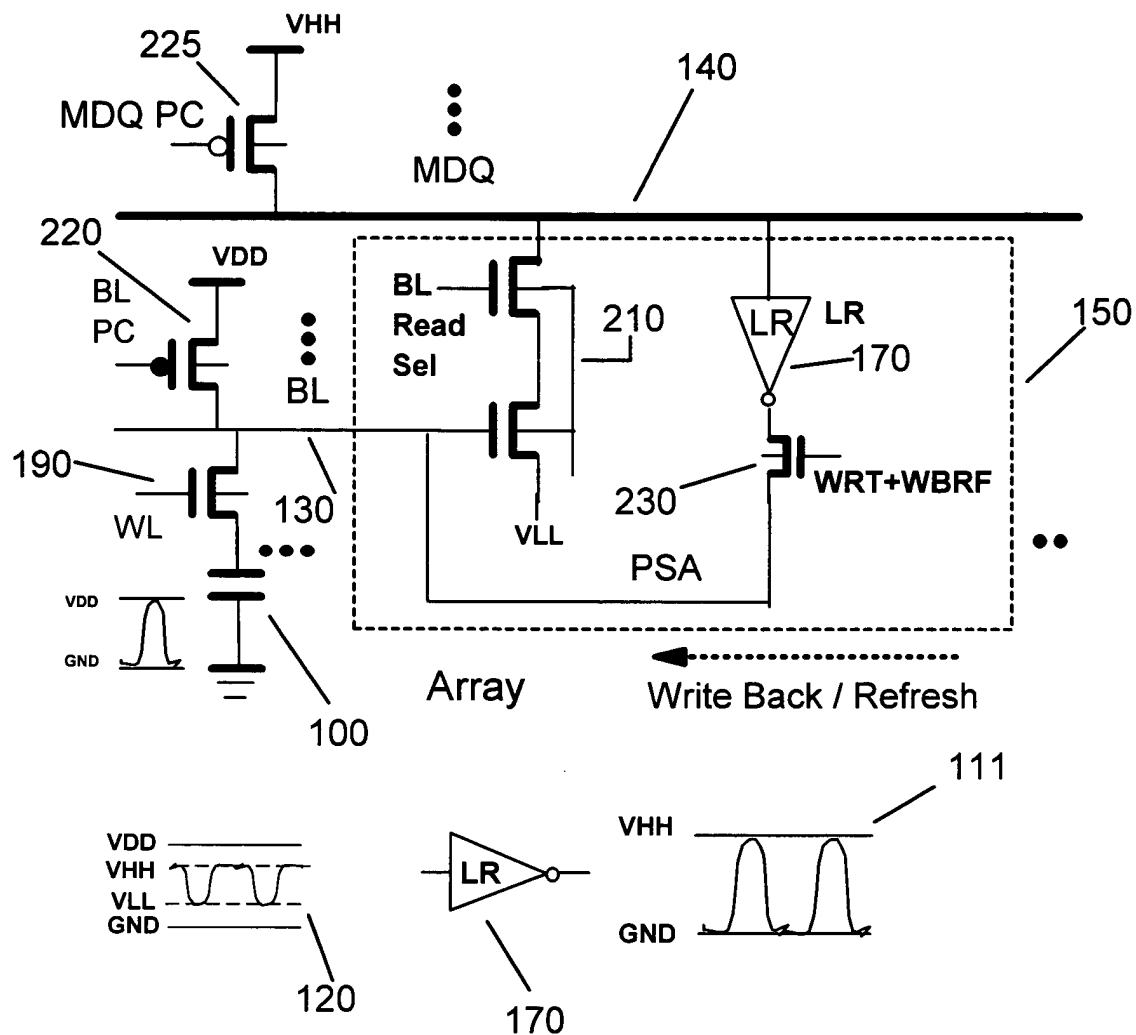


Fig. 2A

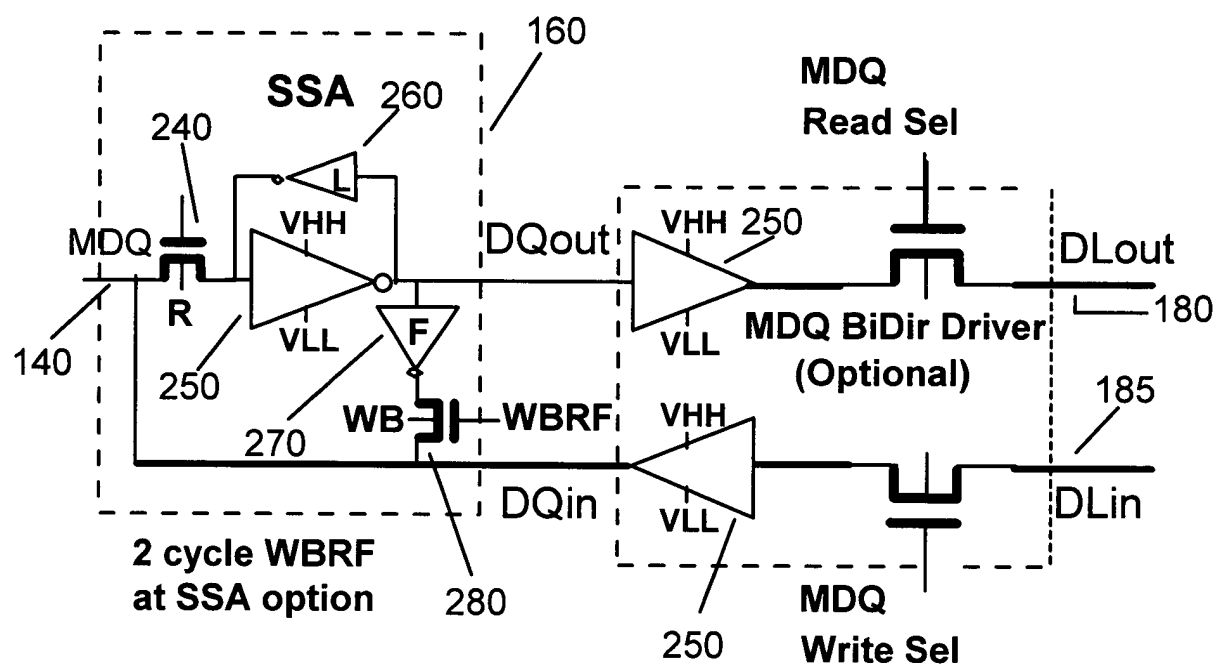


Fig. 2B

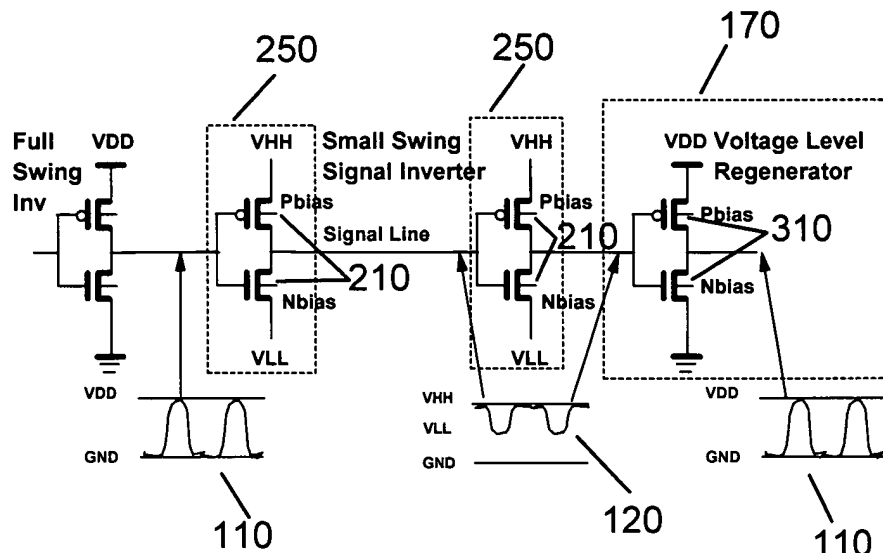


Fig. 3

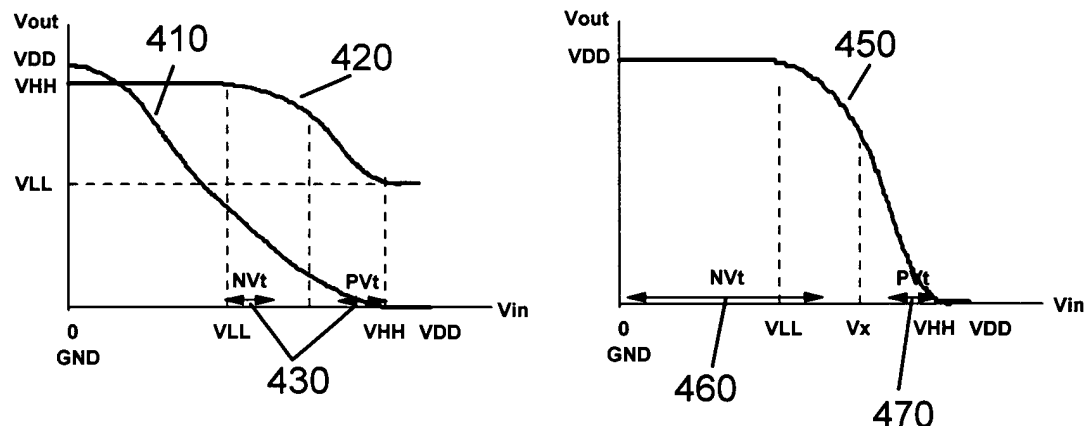
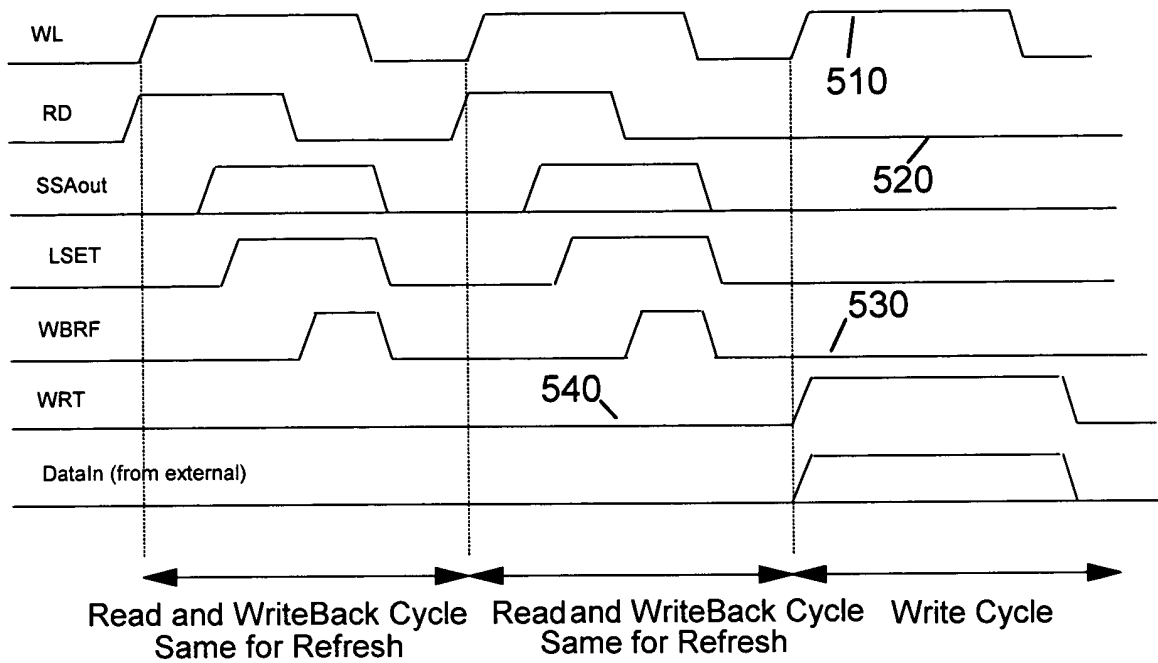


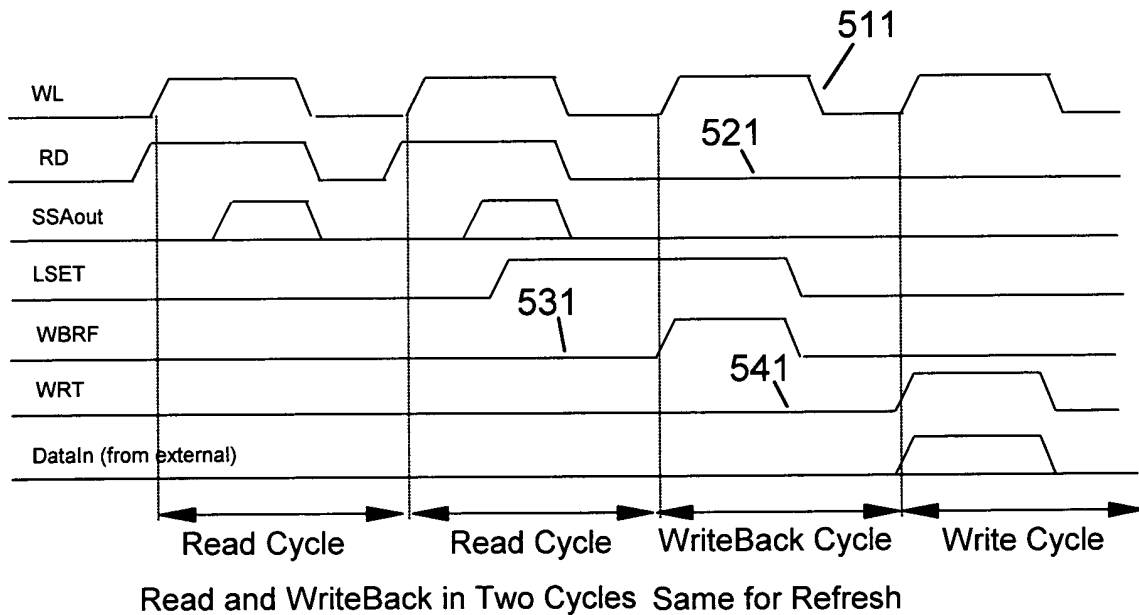
Fig. 4A

Fig. 4B

5/6  
 W. Luk t. al.  
 TAD YOR920030120US1



**Fig. 5A**



**Fig. 5B**

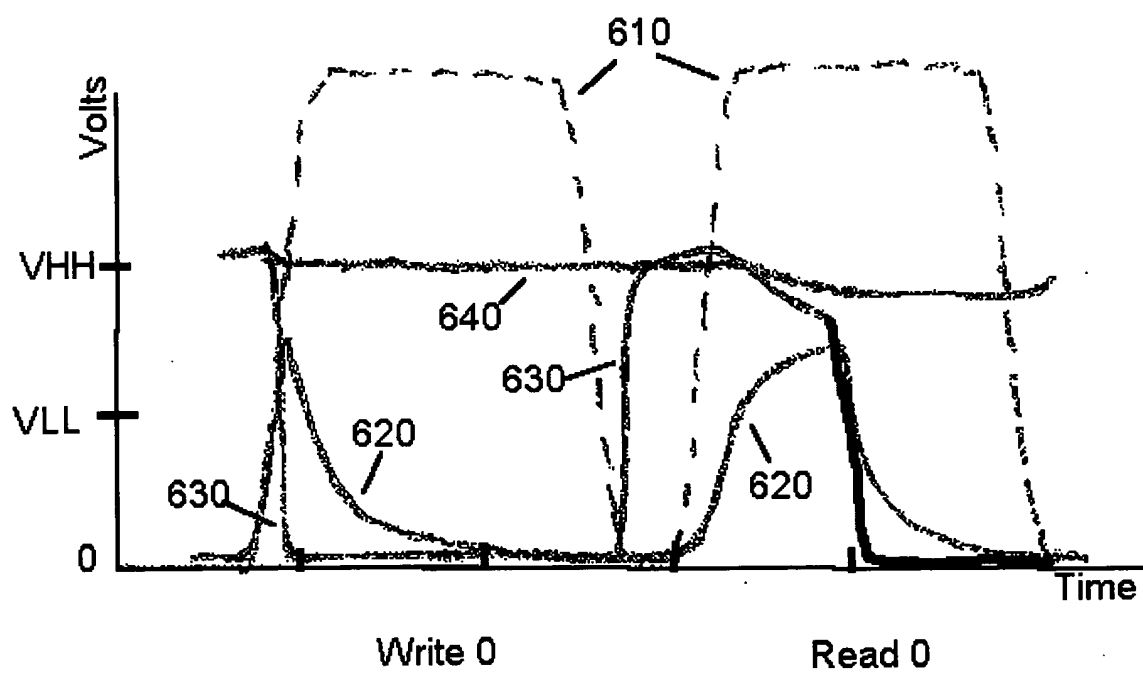
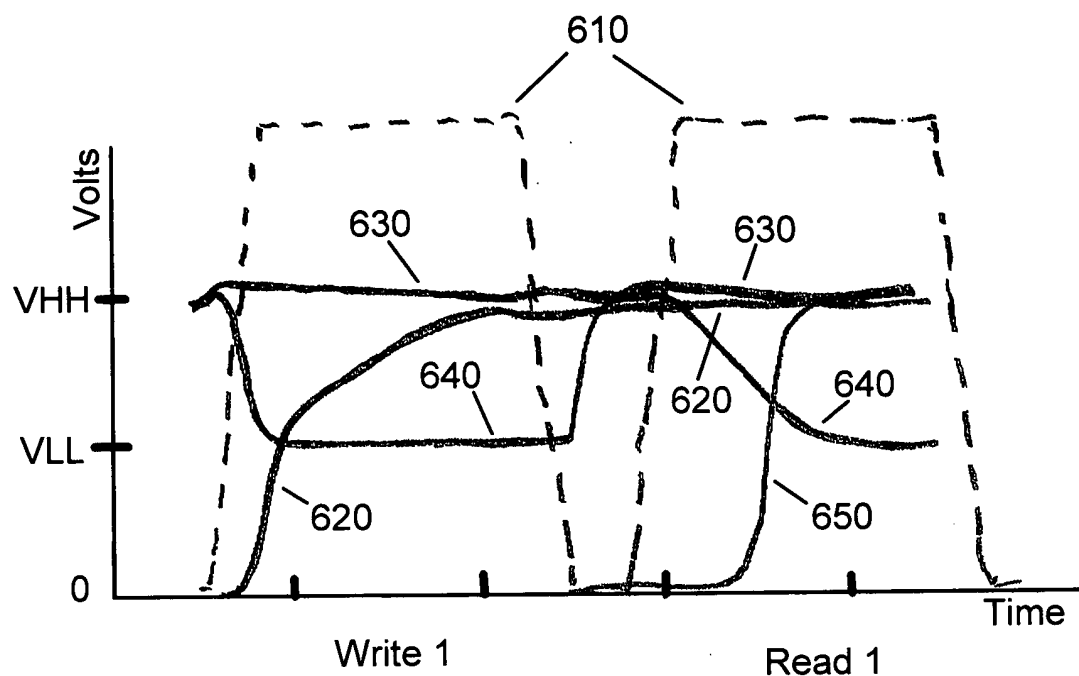


Fig. 6B